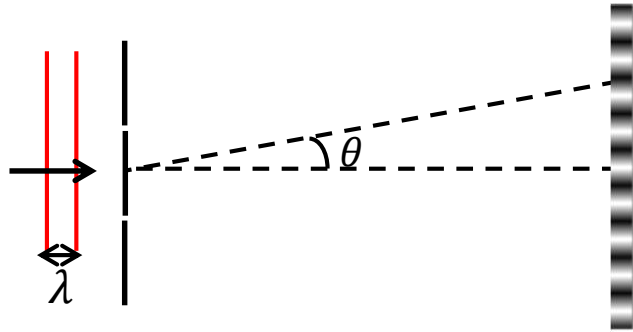


36.7 Difração por Duas Fendas

1. Interferência de fenda dupla de Young ($a \ll \lambda$) [Capítulo 35]



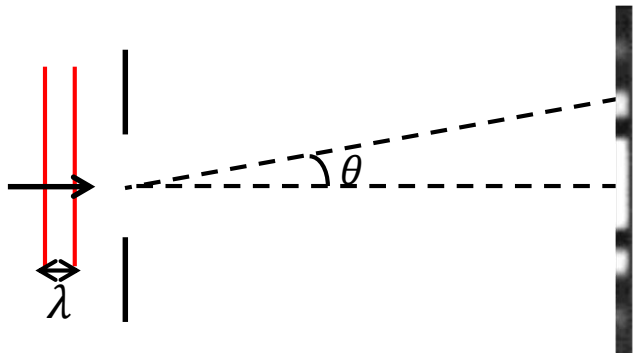
Máximos de interferência

$$d \sin \theta_m = m\lambda, m = 0, \pm 1, \pm 2, \pm 3, \dots$$

Mínimos de interferência

$$d \sin \theta_m = \left(m + \frac{1}{2}\right)\lambda, m = 0, \pm 1, \pm 2, \pm 3, \dots$$

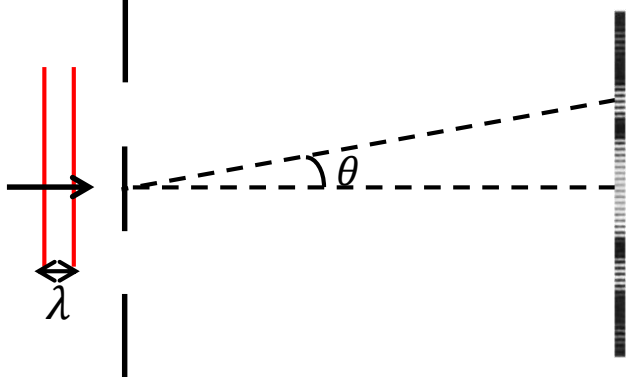
2. Difração por uma fenda ($a \geq \lambda$)



Mínimos de difração

$$a \sin \theta_m = m\lambda, m = \pm 1, \pm 2, \pm 3, \dots$$

3. Difração por duas fendas ($a \geq \lambda$)



Máximos de interferência

$$d \sin \theta_m = m_i \lambda, m_i = 0, \pm 1, \pm 2, \pm 3, \dots$$

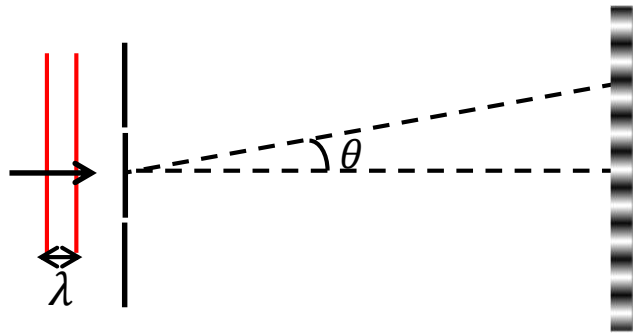
Mínimos de interferência

$$d \sin \theta_m = \left(m_i + \frac{1}{2}\right)\lambda, m_i = 0, \pm 1, \pm 2, \pm 3, \dots$$

Mínimos de difração

$$a \sin \theta_m = m_d \lambda, m_d = \pm 1, \pm 2, \pm 3, \dots$$

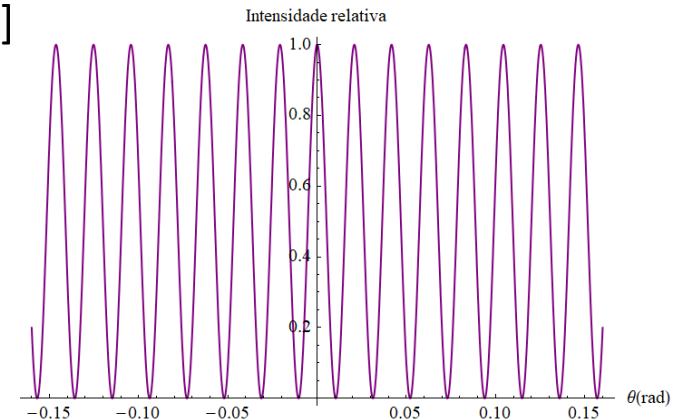
1. Interferência de fenda dupla de Young ($a \ll \lambda$) [Capítulo 35]



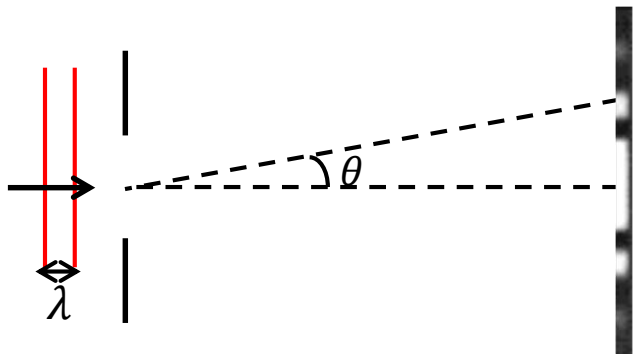
$$I(\theta) = I_m \cos^2 \left(\frac{\pi d}{\lambda} \sin \theta \right)$$

$$d = 1,944 \times 10^{-5} \text{ m}$$

$$\lambda = 4,05 \times 10^{-7} \text{ m}$$



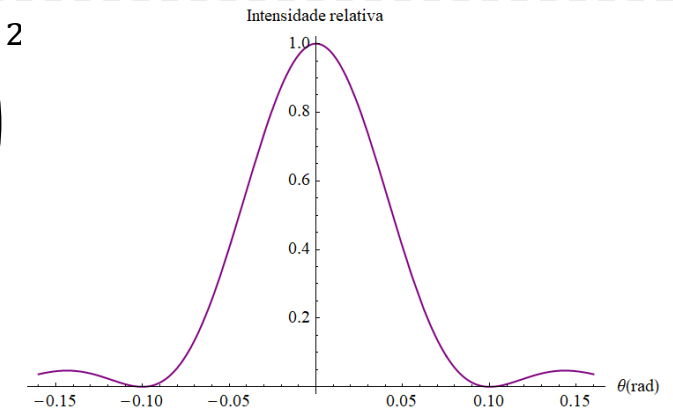
2. Difração por uma fenda ($a \geq \lambda$)



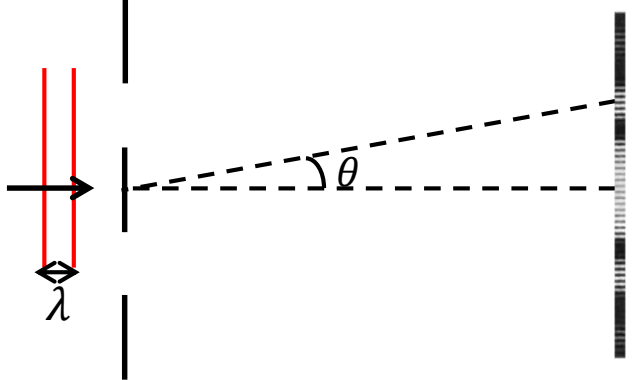
$$I(\theta) = I_m \left(\frac{\sin \left(\frac{\pi a}{\lambda} \sin \theta \right)}{\frac{\pi a}{\lambda} \sin \theta} \right)^2$$

$$a = 4,05 \times 10^{-6} \text{ m}$$

$$\lambda = 4,05 \times 10^{-7} \text{ m}$$



3. Difração por duas fendas ($a \geq \lambda$)



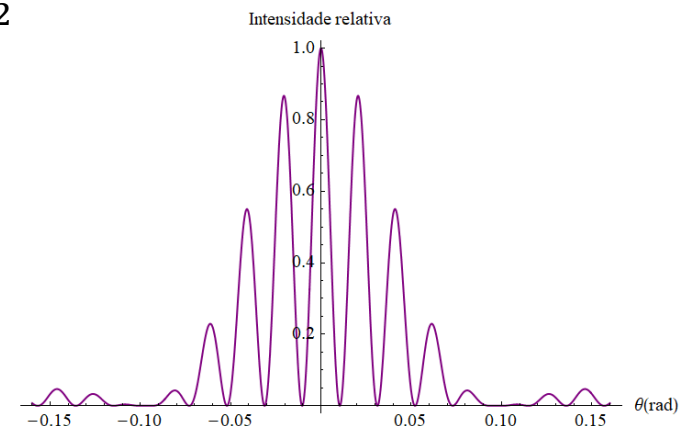
$$I(\theta) = I_m \cos^2(\beta) \left(\frac{\sin \alpha}{\alpha} \right)^2$$

$$\beta = \frac{\pi d}{\lambda} \sin \theta, \quad \alpha = \frac{\pi a}{\lambda} \sin \theta$$

$$d = 1,944 \times 10^{-5} \text{ m}$$

$$a = 4,05 \times 10^{-6} \text{ m}$$

$$\lambda = 4,05 \times 10^{-7} \text{ m}$$



Levando em conta o efeito da difração, a intensidade da figura de interferência de duas fendas é dada por

fator de difração

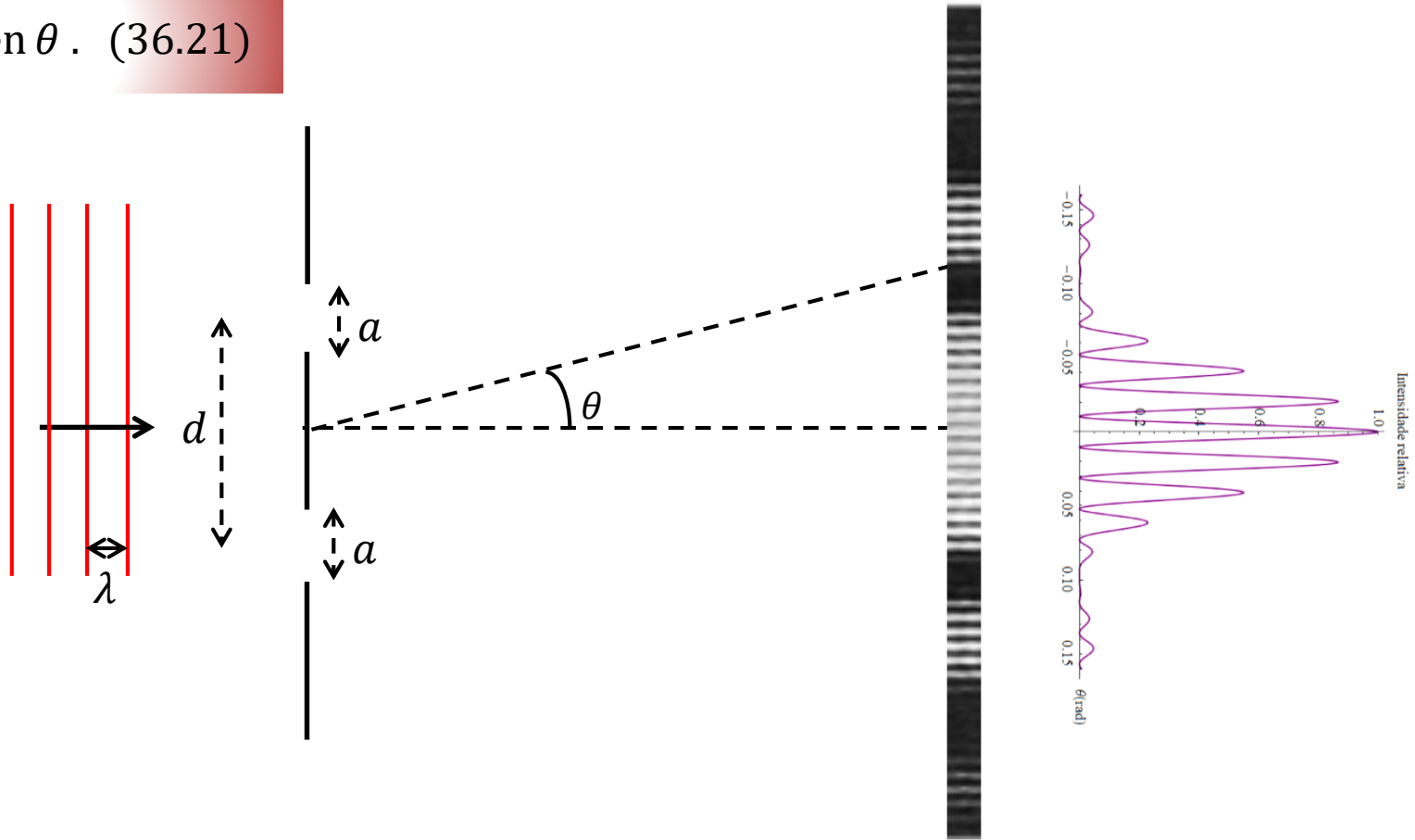
$$I(\theta) = I_m \underbrace{\cos^2(\beta)}_{\text{fator de interferência}} \overbrace{\left(\frac{\sin \alpha}{\alpha}\right)^2}^{\text{fator de difração}} \quad (36.19)$$

fator de interferência

onde

$$\beta = \frac{\pi d}{\lambda} \sin \theta \quad (36.20)$$

$$\alpha = \frac{\pi a}{\lambda} \sin \theta \quad (36.21)$$

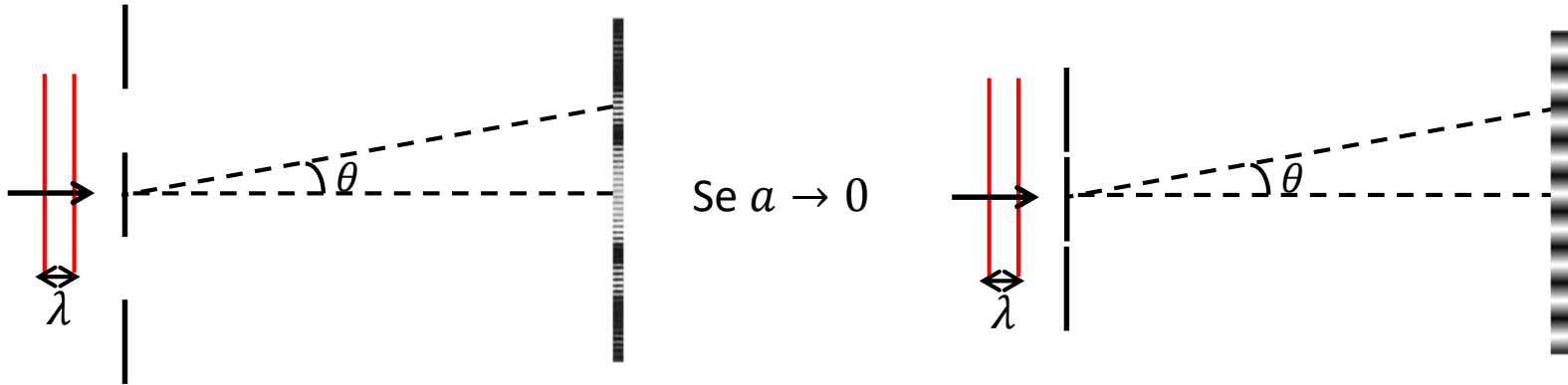


$$I(\theta) = I_m \cos^2(\beta) \left(\frac{\sin \alpha}{\alpha} \right)^2$$

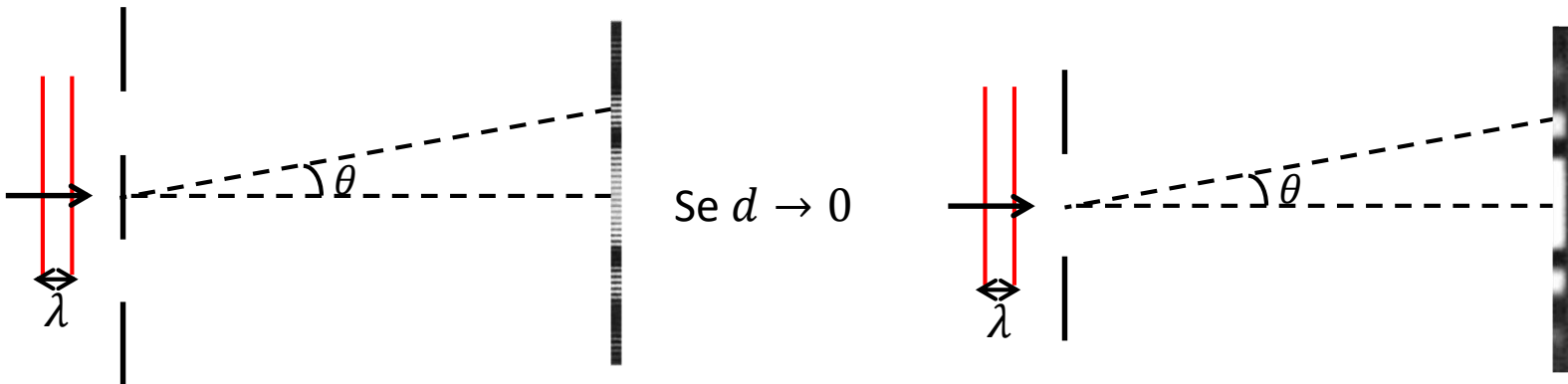
$$\beta = \frac{\pi d}{\lambda} \sin \theta$$

$$\alpha = \frac{\pi a}{\lambda} \sin \theta$$

• Se $a \rightarrow 0$ $\Rightarrow \alpha \rightarrow 0 \Rightarrow \frac{\sin \alpha}{\alpha} \rightarrow 1 \Rightarrow I(\theta) = I_m \cos^2(\beta)$

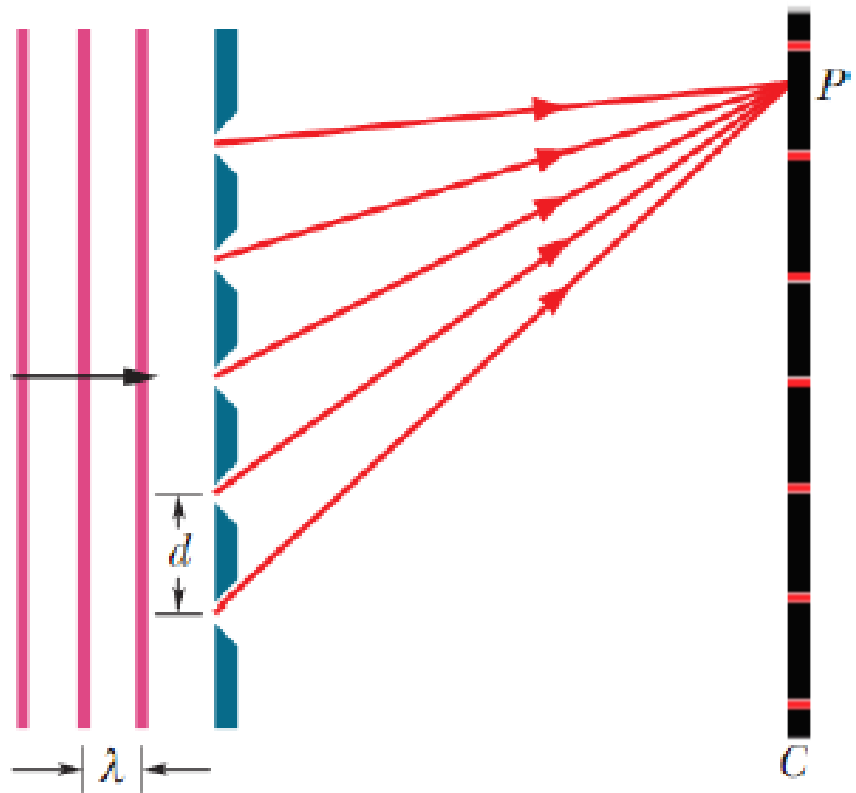


• Se $d \rightarrow 0$ $\Rightarrow \beta \rightarrow 0 \Rightarrow \cos \beta \rightarrow 1 \Rightarrow I(\theta) = I_m \left(\frac{\sin \alpha}{\alpha} \right)^2$

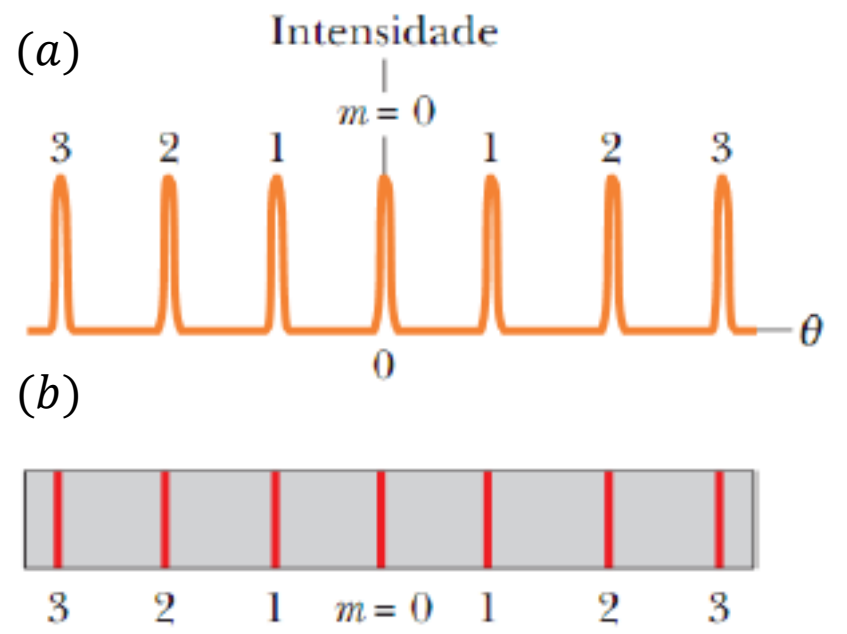


36.8 Redes de Difração

Uma rede de difração é um arranjo semelhante ao do experimento de fenda dupla de Young, exceto pelo fato de que o número de fendas, também chamadas de ranhuras, pode chegar a milhares por milímetro.

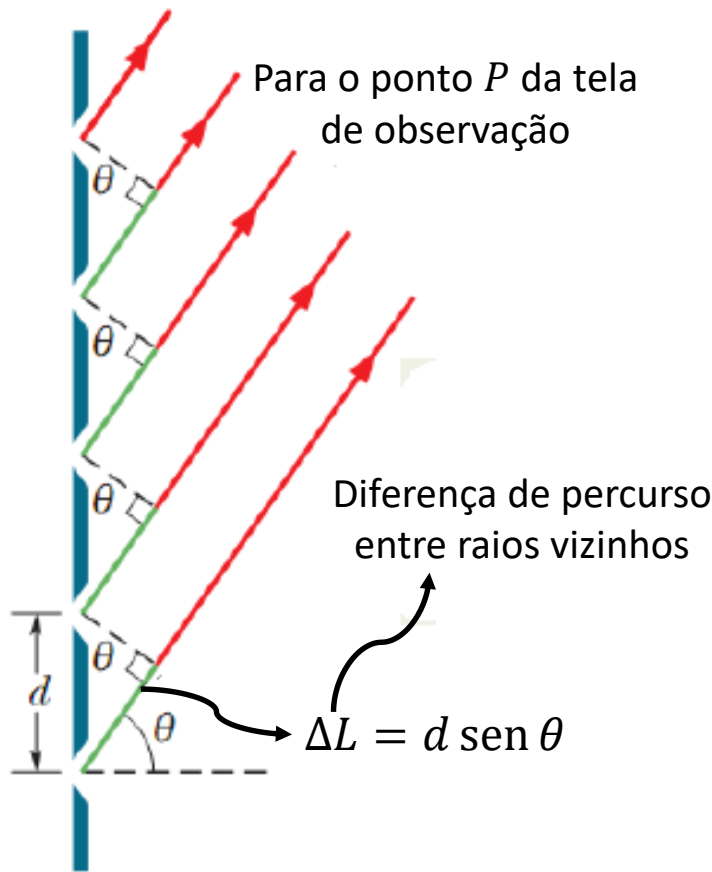


Rede de difração simplificada, com apenas 5 fendas (ou 5 ranhuras).



(a) A curva de interferência produzida por uma rede de difração com muitas ranhuras é constituída por picos estreitos, que aqui rotulamos pelos números de ordem, m .
(b) As franjas claras correspondentes, observadas na tela C , são chamadas de linhas e também foram rotuladas pelos números de ordem, m .

Para determinar as posições das linhas na tela de observação, supomos que a tela está suficientemente afastada da rede para que os raios que chegam a um ponto P da tela sejam aproximadamente paralelos ao deixarem a rede de difração.



Haverá uma **linha** (ou **máximo**) no ponto P da tela se a diferença entre as distâncias percorridas por raios vizinhos for igual a um número inteiro de comprimentos de onda, ou seja, se

$d \sin \theta_m = m\lambda, m = 0, \pm 1, \pm 2, \pm 3, \dots$ (36.35)

número de ordem

espaçamento de rede

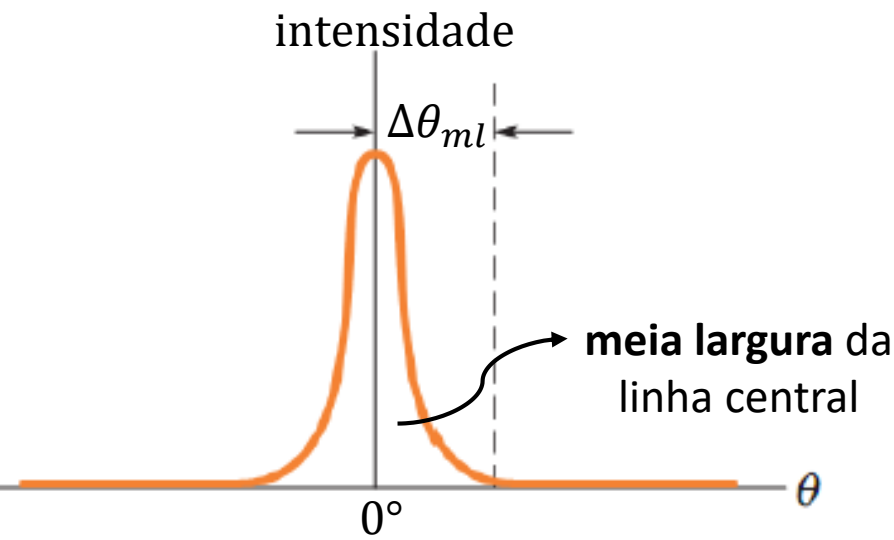
- Se uma rede de difração com largura total igual a w possui N ranhuras (ou fendas), *espaçamento de rede* (d) é dado por

$$d = \frac{w}{N}$$

Largura das Linhas

A capacidade de uma rede de difração resolver (separar) linhas de diferentes comprimentos de onda depende da largura das linhas.

A **meia largura** da linha central é definida como o ângulo $\Delta\theta_{ml}$ entre o centro da linha ($\theta_0 = 0^\circ$) e o primeiro mínimo de intensidade.

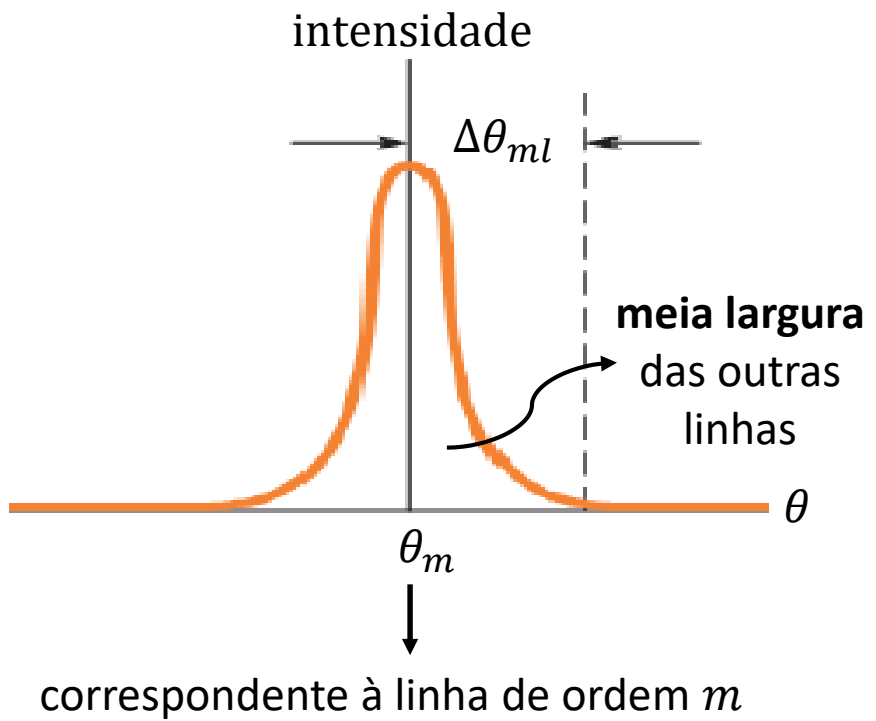


É possível demonstrar que a equação para a **meia largura** da linha central é dada por

$$\Delta\theta_{ml} = \frac{\lambda}{Nd}. \quad (36.27)$$

A **meia largura** das outras linhas pode ser escrita como

$$\Delta\theta_{ml} = \frac{\lambda}{Nd \cos \theta_m}. \quad (36.28)$$



O Espectroscópio de Rede de Difração

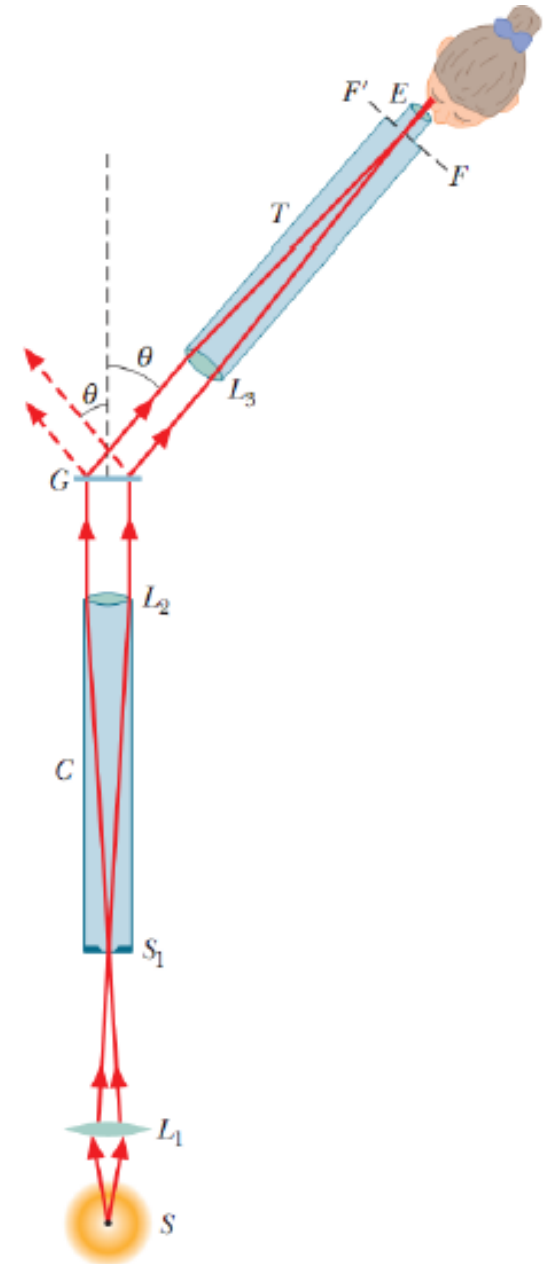
As redes de difração são usadas para determinar os comprimentos de onda emitidos por fontes luminosas de todos os tipos, desde lâmpadas até estrelas.

A figura ao lado mostra um **espectroscópio** simples baseado em um rede de difração. A luz da fonte S é focalizada pela lente L_1 em uma fenda S_1 colocada no plano focal da lente L_2 . A luz que emerge do tubo C (que é chamado de *colimador*) é uma onda plana que incide perpendicularmente na rede G , onde é difratada, produzindo uma figura de difração simétrica em relação ao eixo do colimador.

Podemos observar a linha de difração que apareceria em uma tela em um dado ângulo θ orientando o telescópio T da figura ao lado para o mesmo ângulo.

De acordo com o que vimos no slide 6, a posição angular θ_m de cada **linha** (ou **máximo**) de difração para uma determinada ordem $m (\neq 0)$ depende do comprimento de onda λ , satisfazendo à seguinte equação:

$$d \sin \theta_m = m\lambda, m = 0, \pm 1, \pm 2, \pm 3, \dots$$



Este é o centro do espectro.

As linhas das ordens mais altas ficam mais espalhadas.

4ª ordem incompleta

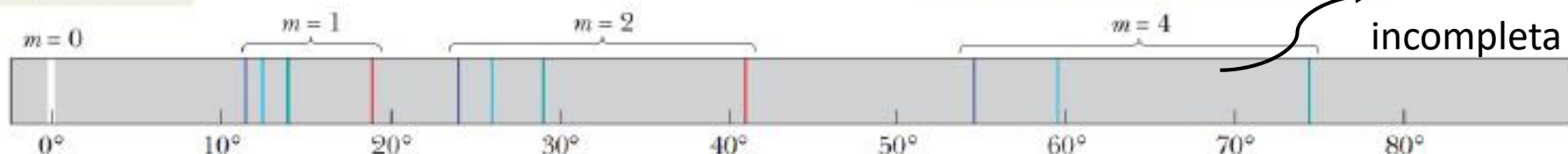


Figura 36-24 Linhas de emissão de ordem zero, um, dois e quatro do hidrogênio na faixa da luz visível. Observe que as linhas são mais afastadas para grandes ângulos. (São também mais largas e menos intensas, embora isso não seja mostrado na figura.)



Figura 36-25 Linhas de emissão do cádmio na faixa da luz visível, observadas através de um espectroscópio. (*Department of Physics, Imperial College/Science Photo Library/Photo Researchers*)

36.9 Redes de Difração: Dispersão e Resolução

Dispersão

Uma rede de difração espalha as linhas difração associadas aos diferentes comprimentos de onda. Esse espalhamento, conhecido com **dispersão**, é definido através da equação

$$D = \frac{\Delta\theta}{\Delta\lambda}, \quad (36.29)$$

onde $\Delta\theta$ é a separação angular entre duas linhas cujos comprimentos de onda diferem de $\Delta\lambda$.

É possível demonstrar que a **dispersão** de uma rede de difração para um ângulo θ_m é dada por

$$D = \frac{m}{d \cos \theta_m}. \quad (36.30)$$

Resolução

Para resolver (distinguir) linhas cujos comprimentos de onda são muito próximos, é preciso que as linhas sejam suficientemente estreitas. Em outras palavras, a rede de difração deve ter uma alta **resolução**, R , definida através da equação

$$R = \frac{\lambda_{méd}}{\Delta\lambda}, \quad (36.31)$$

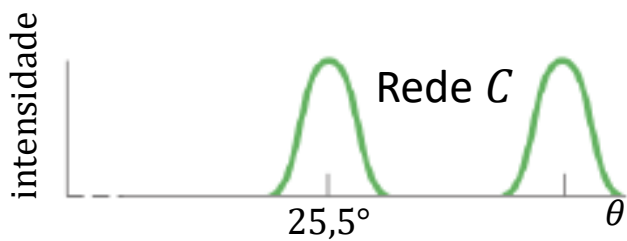
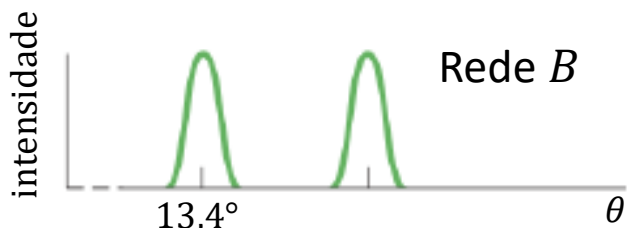
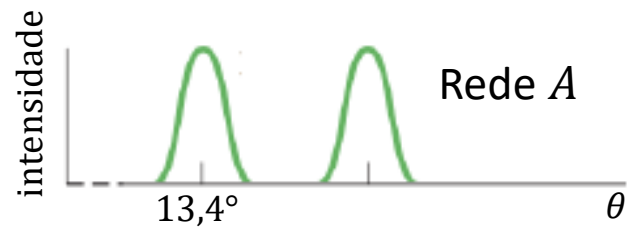
onde $\lambda_{méd}$ é a média dos comprimentos de onda de duas linhas que mal podem ser distinguidas e $\Delta\lambda$ é a diferença entre os comprimentos de onda das duas linhas.

É possível demonstrar que a **resolução** de uma rede de difração com N ranhuras é dada por

$$R = Nm. \quad (36.32)$$

Comparação entre Dispersão e Resolução

$\lambda = 589 \text{ nm}$
 $m = 1$



$$D = \frac{\Delta\theta}{\Delta\lambda} = \frac{m}{d \cos \theta_m}$$

→

Rede A: $D = 23,2^\circ/\mu\text{m}$

Rede B: $D = 23,2^\circ/\mu\text{m}$

Rede C: $D = 46,3^\circ/\mu\text{m}$

$$R = \frac{\lambda_{méd}}{\Delta\lambda} = Nm$$

→

Rede A: $R = 10000$

Rede B: $R = 20000$

Rede C: $R = 10000$

Tabela 36-1

Parâmetros de Três Redes de Difração (Dados para $\lambda = 589 \text{ nm}$ e $m = 1$)

Rede	N	$d \text{ (nm)}$	θ	$D \text{ (}^\circ/\mu\text{m)}$	R
A	10 000	2540	13,4°	23,2	10 000
B	20 000	2540	13,4°	23,2	20 000
C	10 000	1360	25,5°	46,3	10 000

Exercícios sugeridos das Seções 36.7, 36.8 e 36.9: 35, 37, 38, 39, 40, 41, 43, 44, 46, 47, 48, 49, 50, 51, 53, 56, 57, 58, 60, 61, 63, 64, 81, 87 .

Exemplo 36.6) Uma rede de difração tem $N = 1,26 \times 10^4$ ranhuras uniformemente espaçadas em uma largura $w = 25,4 \text{ mm}$. A rede é iluminada perpendicularmente pela luz amarela de uma lâmpada de vapor de sódio. Essa luz contém duas linhas muito próximas (conhecidas como dubleto de sódio) com comprimentos de onda $\lambda_1 = 589,00 \text{ nm}$ e $\lambda_2 = 589,59 \text{ nm}$.

(a) Qual é o ângulo correspondente ao máximo de 1ª ordem para o comprimento de onda de $589,00 \text{ nm}$? [Ou seja, $\theta_1 = ?$]. E $\theta_1 = ?$ Dica: $d = \frac{w}{N}$ e $d \sin \theta_m = m\lambda$.

(b) Usando a dispersão da rede, calcule a separação angular das duas linhas de 1ª ordem. [Ou seja, $\Delta\theta = ?$]. Dica: $\Delta\theta = \theta_1 - \theta_1$ ou $D = \frac{m}{d \cos \theta_m} = \frac{\Delta\theta}{\Delta\lambda}$.

(c) Qual é o menor número de ranhuras que uma rede pode ter sem que e torne impossível distinguir as linhas de 1ª ordem do dubleto de sódio? [Ou seja, $N|_{\text{mín}} = ?$] Dica: $R = \frac{\lambda_{\text{méd}}}{\Delta\lambda} = Nm$.

